

## مطالعه اثر میدان مغناطیسی و سالیسیلیک اسید بر گیاه بادرنجبویه (نعناعیان) تحت تنش فرابنفش B

لطیفه پوراکیبر\* و مهدی عابدزاده

دریافت: ۱۳۹۲/۹/۲۶، پذیرش: ۱۳۹۳/۱۰/۱۷

دانشکده علوم، دانشگاه ارومیه، ارومیه

\*مسئول مکاتبات: l.pourakbar@urmia.ac.ir

**چکیده.** اثرات ناشی از کاهش لایه اوزون و افزایش اشعه فرابنفش را امروزه بسیاری از محققان بررسی کرده‌اند. هدف این مطالعه، بررسی تأثیر پرتو UV-B بر گیاه بادرنجبویه (*ملیسا/وفیسیالیس*) و تأثیر سالیسیلیک اسید و میدان مغناطیسی در کاهش اثر زیان‌بار این پرتو بر این گیاه بود. گیاهان بادرنجبویه به مدت ۶۰ روز در وضعیت گلخانه‌ای کشت یافتند. تیمار فرابنفش بعد از مرحله شش‌برگی اعمال شد و پرتو UV-B به مدت ۱۵ روز و هر بار به مدت ۲۰ دقیقه اعمال گردید. اسید سالیسیلیک نیز بعد از مرحله شش‌برگی با غلظت ۱ میلی‌مولار به مدت یک‌هفته روی گیاهان پاشیده شد. تیمار میدان مغناطیسی به مدت یک ساعت و با شدت‌های صفر، ۴۰ و ۸۵ میلی‌تسلا اعمال شد. نتایج نشان داد که پرتو UV-B باعث کاهش وزن تر و خشک، رشد طولی ریشه و اندام هوایی شد. این پرتو همچنین میزان رنگیزه‌های فتوسنتزی (کلروفیل a، کلروفیل b و کاروتنوئید)، میزان قندها و پروتئین‌های محلول را کاهش داد. میزان فعالیت فنیل‌آلانیل آمونیا‌لیاز و ترکیبات جاذب UV نیز تحت تأثیر پرتوهای UV-B افزایش نشان داد. بررسی نتایج نشان داد تیمار با سالیسیلیک اسید و میدان مغناطیسی باعث تخفیف آسیب‌های ناشی از اعمال پرتوهای UV-B در گیاه شد و توانست فاکتورهای را که تحت تابش‌های فرابنفش تغییر یافته بودند جبران کند.

**واژه‌های کلیدی.** پرتو فرابنفش، گیاه بادرنجبویه، سالیسیلیک اسید، میدان مغناطیسی، فنیل‌آلانیل آمونیا‌لیاز

## Investigating the effects of magnetic field and salicylic acid on *Melissa officinalis* (Lamiaceae) under UV-B stress

Latifeh Pourakbar\* and Mehdi Abedzadeh

Received 17.12.2013/ Accepted 07.01.2015

Faculty of Sciences, Urmia University, Urmia, Iran

\*Correspondent author: l.pourakbar@urmia.ac.ir

**Abstract.** Effects of ozone depletion and increase of UV radiation have been studied by many researchers. The aim of this study was to investigate the effects of UV-B radiation on *Melissa officinalis* L. as well as the impact of salicylic acid and magnetic fields in the reduction of harmful effects of radiation on plants. The *Melissa officinalis* L. plants were treated with  $28 \pm 2$  C° for approximately 60 days. The light intensity was  $150 \mu E m^{-2} S^{-1}$  and the light/dark regime was 16/8 h. UV-B treatment was applied after the six-leaf stage for a period of 15 days and 20\_min every day. Salicylic acid (1mM) was daily sprayed on the plants after the six-leaf stage for one week. Magnetic field treatment was applied for an hour with intensities of 0, 40 and 85 mT. The results indicated that the UV-B radiation led to reduction of root and shoot dry and fresh weights, and root and shoot elongation. The radiations also reduced the content of photosynthetic pigments (chlorophyll a, chlorophyll b and carotenoid), sugar and soluble proteins. The phenylalanine ammonia-lyase activity and UV-absorbing content compounds increased under the effect of UV-B radiation. The results showed that treatment with salicylic acid and magnetic fields reduced damages to the plant due to UV-B radiation.

**Keywords.** UV radiation, *Melissa officinalis* L., magnetic field, salicylic acid, phenylalanine ammonia-lyase

## مقدمه

امروزه فعالیت‌های صنعتی بشر باعث افزایش ترکیبات آلوده-کننده اتمسفر به خصوص ترکیبات هالوژن‌دار شده است که این ترکیبات به دلیل پایداری زیاد به سطح استراتوسفر می‌رسند و باعث تخریب لایه اوزون می‌شوند. کاهش لایه اوزون باعث افزایش میزان پرتوهای فرابنفش در سطح زمین شده است و مشکلاتی را برای موجودات زنده به وجود آورده است (Buchholz et al., 1995). در میان موجودات زنده، گیاهان به دلیل احتیاج اجتناب‌ناپذیرشان به نور برای انجام فتوسنتز، بیشتر تحت تأثیر پرتوهای فرابنفش قرار می‌گیرند و آسیب‌پذیرتر هستند (Booji-James et al., 2000). اشعه UV موجب تغییر در مورفولوژی گیاهان می‌شود که شامل تغییر در شکل برگ، افزایش شاخه‌های جانبی، کاهش میان‌گره‌ها، کاهش سطح برگ، کاهش بسامد روزنه‌ای و کاهش ارتفاع گیاه است (Horii et al., 2007). به دلیل جذب اشعه UV توسط اسیدهای آمینه حلقوی مانند فنیل آلانین و تیروزین، پروتئین‌ها نسبت به UV به خصوص UV-B جذب بالایی نشان می‌دهند (Hollosoy, 2002). پاسخ گیاهان به اشعه UV به گونه گیاهی، رقم کشاورزی، مراحل رشد و نمو، وضعیت رشد و میزان نور UV بستگی دارد (Qin et al., 2004). از طرف دیگر، فسفولیپیدها و گلیکولیپیدها از اجزای اصلی غشاهای سلول‌های گیاهی هستند که اسیدهای چرب غیراشباع دارند و در حضور اکسیژن و UV تخریب می‌شوند (Rhybus-Zajac & Kubis., 2010). پراکسیداسیون لیپیدها هم جزء آسیب‌های اکسیداتیو است که از محصولات این عمل می‌توان به MDA (مالون دی‌آلدئید) و پراکسید هیدروژن اشاره کرد (Holzinger & Lutz., 2006). پرتو فرابنفش باعث کاهش مقدار کلروفیل a، کلروفیل b و نیز کاروتنوئیدها می‌شود. کاهش مقدار کلروفیل می‌تواند به دلیل تأثیر این اشعه بر پیش‌سازهای سنتز کلروفیل یا تخریب کلروفیل موجود باشد. کاهش کاروتنوئیدها می‌تواند به علت تبدیل آن به آبسزیک اسید باشد که عموماً در استرس‌های محیطی مقدار آبسزیک اسید افزایش می‌یابد (Mahdavian et al., 2008). سالیسیلیک اسید تنظیم‌کننده رشد درونی از گروه

ترکیبات فنولی طبیعی است که در تنظیم فرآیندهای فیزیولوژیکی گیاه نقش مهمی دارد. القای گل‌دهی، رشد و نمو، سنتز اتیلن، تأثیر در باز و بسته شدن روزنه‌ها، تنفس، جذب یون، تکامل گیاه، فتوسنتز و جوانه‌زنی از نقش‌های مهم سالیسیلیک اسید به شمار می‌رود (El-Tayeb et al., 2006). سالیسیلیک اسید همچنین باعث فعال شدن سیستم مقاومت اکتسابی سیستمیک، سنتز متابولیت‌ها و آنزیم‌های آنتی‌اکسیدان می‌شود (Eraslan et al., 2008). گزارش شده است که سالیسیلیک اسید در تنظیم و ایجاد علامت‌هایی برای بیان ژن‌ها در زمان پیری در گیاه آراییدوپسیس دخالت دارد (Morris et al., 2000). سالیسیلیک اسید در گیاهانی که در معرض تنش‌های محیطی از قبیل شوری، خشکی، فلزات سنگین، گرم‌زدگی و سرمازدگی هستند نقش حفاظتی دارد (Chakraboity & Tongden, 2005).

تغییرات ایجاد شده در طبیعت در اثر دخالت‌های انسان در خاک، آب و هوا به دلیل استفاده از مواد شیمیایی مختلف برای افزایش بهره‌وری گیاهان به جست‌جو جهت پیدا کردن روش‌های جدید منجر شده است. بنابراین جایگزینی کودها و مکمل‌های شیمیایی با تیمارهای فیزیکی از قبیل میدان مغناطیسی، میزان سموم را در مواد خام گیاهی کاهش می‌دهد و باعث افزایش سلامت غذایی و محیط زیست می‌شود (Balouchi & Sanavy, 2009). بررسی تأثیر میدان‌های مغناطیسی بر باقلای مصری سفید و تربچه نشان داده است که میدان‌های مغناطیسی، جوانه‌زنی را در باقلای مصری سفید و تربچه تحریک می‌کند و تأثیری مثبت بر توسعه گیاه و تولید سالانه بذر دارد و محصول سالانه را افزایش می‌دهد (Podleoeny et al., 2005). همچنین نشان داده شده است که میدان مغناطیسی موجب افزایش جوانه‌زنی، وزن تر و طول ساقه در گیاه آفتابگردان می‌شود و تأثیر مثبتی بر شاخص‌های بینه بذر دارد (Vashisth & Nagarajan, 2010).

بادرنجبویه با نام علمی *Melissa officinalis* L. گیاهی از تیره نعناعیان و از گیاهان دارویی است که از مهم‌ترین خواص دارویی آن می‌توان به آرام‌بخشی، تقویت اعصاب، ضدنفخ و تقویت‌کننده حافظه اشاره کرد (Kennedy et al., 2006). این گیاه در ارومیه برای استفاده از عرق آن به عنوان شربت و

به مدت ۱۶ ساعت روشنایی و ۸ ساعت تاریکی پرورش یافتند. گیاهان کشت شده با محلول هوگلند تغذیه شدند. یک هفته پس از کشت گلدان‌های تیماردیده دوباره به مدت ۱ ساعت در معرض میدان‌های مغناطیسی با شدت‌های پیش گفته قرار گرفتند. سپس نصف گلدان‌های تیماردیده و نصف گلدان‌های بدون تیمار در یک ماه و به صورت یک‌روز در میان و هر بار به مدت ۱۵ دقیقه در معرض پرتوهای UV-B قرار گرفتند. اشعه لازم برای تیمار UV-B توسط دو لامپ ۱۵ وات تأمین شد.

بعد از مرحله شش‌برگی، اسید سالیسیلیک با غلظت یک میلی-مولار به مدت یک هفته و هر روز روی برگ گیاهان پاشیده شد. آزمایش به صورت طرح کاملاً تصادفی با ۸ تیمار و ۶ تکرار برای هر تیمار انجام گرفت. تیمارها عبارت بودند از: گیاهان شاهد، گیاهان تحت تیمار میدان مغناطیسی ۴۰ میلی تسلا، گیاهان تحت تیمار میدان مغناطیسی ۸۵ میلی تسلا، گیاهان شاهد + محلول ۱mM سالیسیلیک اسید، گیاهان در معرض اشعه UV-B، گیاهان در معرض تابش فرابنفش B + محلول ۱mM سالیسیلیک اسید، گیاهان در معرض تابش فرابنفش B + میدان مغناطیسی ۴۰ میلی تسلا و گیاهان در معرض تابش فرابنفش B + میدان مغناطیسی ۸۵ میلی تسلا. پس از گذشت ۴۰ روز نمونه‌ها برداشت شده و سه تکرار از هر کدام بعد از جداسازی اندام هوایی از ریشه‌ها در داخل پاکت‌های مجزا قرار داده شد و برای تعیین وزن خشک به مدت ۷۲ ساعت در آن ۸۵ درجه سانتی-گراد قرار گرفتند؛ سپس وزن خشک اندام هوایی و ریشه‌ها بوسیله ترازویی با حساسیت ۰/۰۰۰۱ گرم اندازه‌گیری شد. سه تکرار دیگر از هر تیمار برای تحلیل‌های بیوشیمیایی و فیزیولوژیک که به وزن تر نیاز داشتند، بعد از جداسازی اندام هوایی و ریشه‌ها و توزین آنها به فریزر ۸۰- درجه سانتی‌گراد منتقل شدند.

اسانس در تولید شیرینی‌جات در حد وسیعی کشت می‌شود. تاکنون تحقیقاتی در زمینه اثر میدان‌های مغناطیسی به همراه برخی تنش‌های محیطی مثل UV انجام نگرفته است، بنابراین هدف این مطالعه بررسی تأثیر پرتوهای UV-B و نقش سالیسیلیک اسید به عنوان یک ماده شیمیایی و میدان مغناطیسی به مثابه روش فیزیکی در تخفیف آثار زیان‌بار این پرتوها بر شاخص‌های رشدی، فیزیولوژیکی و بیوشیمیایی گیاهان بادرنجبویه (ملیسا اوفیسینالیس) بود.

## مواد و روش‌ها

### مواد گیاهی و وضعیت رشد

ابتدا خاک و ماسه مورد استفاده جهت کشت در اتوکلاو و در دمای ۱۲۱ درجه سانتی‌گراد و فشار یک اتمسفر به مدت ۵ ساعت استریل شدند. خاک و ماسه به نسبت ۱ به ۴ باهم مخلوط شدند. بذرها سالم و یکنواخت بادرنجبویه به مدت ۱۵ دقیقه در محلول ۱۰ درصد هیپوکلریت سدیم استریل و سپس با آب مقطر کاملاً شست‌وشو داده شد و نصف بذرها برای جوانه‌زنی در داخل پتری‌دیش قرار گرفتند؛ نصف دیگر پس از ضدعفونی با هیپوکلریت ۵ درصد و شست‌وشو با آب به مدت صفر و ۶۰ دقیقه در معرض میدان‌های مغناطیسی با شدت صفر، ۴۰ و ۸۵ میلی تسلا در آزمایشگاه ابر رسانایی قرار گرفتند. جهت اعمال تیمار از تولیدکننده میدان مغناطیسی ساخت ایران با قدرت تولید میدان مغناطیسی تا ۲ تسلا، برای ایجاد شدت میدان ذکر شده از منبع تغذیه AP 10090 ساخت انگلیس و برای سنجش میدان مغناطیسی ایجاد شده از دستگاه تسلا متر مدل فیو ساخت آلمان با قدرت اندازه‌گیری ۲۰ تا ۲۰۰ میلی تسلا استفاده شد. سه گروه ۲۰ تایی از بذرها (بدون تیمار میدان مغناطیسی و با تیمار میدان‌های مغناطیسی ۴۰ و ۸۵ میلی تسلا) به صورت جداگانه درون ظروف پتری‌دیش به قطر ۱۱ سانتی‌متر که حاوی کاغذ صافی واتمن شماره ۱ و آب مقطر بود انتقال یافتند. پس از جوانه‌زنی ۴ دانه رست یک‌دست و همسان به هر گلدان انتقال یافتند و در فضای گلخانه با دمای حدود  $28 \pm 2$  درجه سانتی‌گراد و در شدت نور  $5000$  لوکس معادل  $150 \text{ EmM}^{-1} \text{ s}^{-1}$  با فتوپریودی

## مطالعه پارامترهای فیزیولوژیکی

## اندازه‌گیری رنگی‌های کلروفیل و کاروتنوئید

میزان کلروفیل (Chla) a، (Chlb) b و کاروتنوئیدهای کل (C<sub>x+c</sub>) با روش لیختنتالر و ولبورن اندازه‌گیری شد. یک گرم از بافت تر برگ توزین و با ۳۰ میلی‌لیتر استون ۸۰ درصد له شد. بعد از صاف کردن، عصاره به مدت ۱۰ دقیقه با دور ۲۵۰۰ rpm سانتریفوژ شد. برای تعیین میزان کلروفیل a و b جذب آن توسط دستگاه اسپکتروفتومتر در طول موج ۶۶۳ و ۶۴۵ نانومتر و برای تعیین میزان کاروتنوئیدها در طول موج ۴۷۰ نانومتر اندازه‌گیری شد. برای محاسبه مقادیر کلروفیل a و b و کاروتنوئید از فرمول لیختنتالر و ولبورن به شرح زیر استفاده شد:

$$\text{Chl}_a = (11.75 A_{663} - 2.350 A_{645})$$

$$\text{Chl}_b = (18.61 A_{645} - 3.960 A_{663})$$

$$C_{x+c} = (1000A_{470} - 2.270 \text{Chl}_a - 81.4 \text{Chl}_b) / 227$$

A میزان جذب خوانده شده هر طول موج توسط اسپکتروفتومتر است.

## اندازه‌گیری میزان قندهای محلول

برای اندازه‌گیری میزان قندهای محلول از روش فنل سولفوریک کوچرت استفاده شد (Kennedy, 2004). ابتدا ۰/۰۱ گرم ماده خشک گیاهی در داخل هاون چینی که محتوی ۱۰ میلی‌لیتر آب مقطر بود ساییده شد. عصاره حاصل در لوله‌های سانتریفوژ ریخته شد و به مدت ۱۰ دقیقه با دور ۶۰۰۰g سانتریفوژ گردید. روی ۰/۵ میلی‌لیتر از محلول رویی، آب مقطر اضافه شد و حجم آن به ۲ میلی‌لیتر رسانده شد. سپس به هریک از لوله‌های آزمایش، ۱ میلی‌لیتر فنل ۵ درصد اضافه کردیم و بعد از ده دقیقه ۵ میلی‌لیتر اسید سولفوریک غلیظ روی هر کدام اضافه شد. بعد از نیم ساعت میزان جذب در طول موج ۴۸۵ نانومتر با دستگاه اسپکتروفتومتر اندازه‌گیری شد. غلظت قندهای محلول با استفاده از منحنی استاندارد تعیین شد.

## اندازه‌گیری میزان پروتئین کل

برای اندازه‌گیری میزان پروتئین‌ها از روش فولن لوری استفاده شد (Lowry *et al.*, 1951). بدین ترتیب که ۰/۰۱ گرم ماده خشک گیاهی در داخل هاون چینی که محتوی ۵ میلی‌لیتر محلول تریس‌اسید کلریدریک بود ساییده شد. سپس عصاره‌های گیاهی ساییده شده هر تیمار، جداگانه در لوله‌های سانتریفوژ ریخته شد و به مدت ده دقیقه با دور ۴۰۰۰g سانتریفوژ شدند. ۱ میلی‌لیتر از محلول بالایی هر نمونه در لوله‌های آزمایش جداگانه ریخته شد و روی هر کدام ۴ میلی‌لیتر از محلول C اضافه شد. محلول C به ترتیب زیر تهیه شد:

محلول A: ۴ گرم کربنات کلسیم، ۰/۴ گرم هیدروکسید سدیم، ۰/۲ گرم سدیم پتاسیم تارتارات که مجموعاً در ۱۰۰ میلی‌لیتر آب مقطر حل شد

محلول B: حاوی سولفات مس ۰/۵ درصد (W/V)

محلول C: ۵۰ میلی‌لیتر محلول A + ۱ میلی‌لیتر محلول B

بعد از ۱۰ دقیقه، ۱/۵ میلی‌لیتر محلول فولن رقیق‌شده با آب مقطر (۹:۱) به نمونه‌ها اضافه شده و به مدت نیم ساعت در تاریکی قرار گرفتند. در نهایت جذب نوری آنها در طول موج ۶۶۰ نانومتر با دستگاه اسپکتروفتومتر مدل بیویواس ۲۱۰۰ خوانده‌شده و با استفاده از منحنی استاندارد پروتئین، میزان پروتئین نمونه‌ها برحسب میلی‌گرم بر گرم وزن خشک محاسبه شد.

## اندازه‌گیری فعالیت آنزیم فنیل آلانین آمونیا لیاز

برای اندازه‌گیری فعالیت آنزیم فنیل آلانین آمونیا لیاز از روش بئودیون ایگان و تورپ استفاده شد (Beaudion-Eagan & Thorpe, 1989). مخلوط واکنش شامل بافر تریس ۰/۵ میلی-مولار با pH=۸ و فنیل آلانین ۶ میکرومولار بود. ۲۰۰ میکرولیتر عصاره آنزیمی به هر مخلوط واکنش افزوده شد و به مدت ۶۰ دقیقه در ۳۷ درجه سانتی‌گراد قرار گرفت و بعد از ۶۰ دقیقه واکنش با افزودن ۵۰ میکرولیتر HCl نرمال متوقف شد و سپس جذب نمونه‌ها در ۲۹۰ نانومتر با دستگاه اسپکتروفتومتر مدل

### برنامه‌های آماری

برای تحلیل داده‌ها و رسم نمودارها از برنامه‌های رایانه‌ای SPSS و EXCELL استفاده گردید. در کلیه نمودارها نتایج به صورت مقادیر میانگین سه تکرار بیان شد و بارهای عمودی نشان‌دهنده  $\pm SE$  برای سه تکرار است. اختلاف بین تیمارها با استفاده از تحلیل واریانس آنوای دوطرفه در سطح آماری  $p \leq 0.05$  انجام شد.

### نتایج

#### شاخص‌های رشدی

براساس نتایج به دست آمده طول ریشه و ساقه تحت تأثیر پرتو UV-B کاهش معنی‌داری نسبت به شاهد پیدا کرد (شکل ۱). سالیسیلیک اسید به تنهایی موجب افزایش طول ریشه و ساقه نسبت به شاهد شد. همچنین در نمونه‌هایی که پرتوهای فرابنفش به همراه سالیسیلیک اسید تیمار شده بودند کاهش طول نسبت به تیمار پرتوهای فرابنفش بدون سالیسیلیک اسید به طور معنی‌داری کمتر بود (شکل ۱). پیش تیمار میدان مغناطیسی باعث افزایش طول ساقه و ریشه دانه‌رست‌ها نسبت به گیاهان شاهد شد که این افزایش در هر دو شدت میدان مغناطیسی نسبت به شاهد معنی‌دار بود. تیمار هم‌زمان با میدان‌های مغناطیسی و پرتو UV-B با افزایش معنی‌دار رشد طولی ریشه و ساقه نسبت به تیمار UV-B همراه بود و میدان مغناطیسی توانست در هر دو شدت در ریشه و در شدت ۸۵ میلی‌تسلا در ساقه اثر کاهشی UV-B را کاملاً جبران کند.

#### وزن تر و خشک

اندازه‌گیری وزن تر و وزن خشک گیاهان پرتو دیده و مقایسه آن با گیاهان شاهد نشان داد که اعمال پرتو UV-B باعث کاهش معنی‌دار وزن تر و خشک در سطح احتمال ۵ درصد نسبت به گیاهان شاهد شد (شکل ۲).

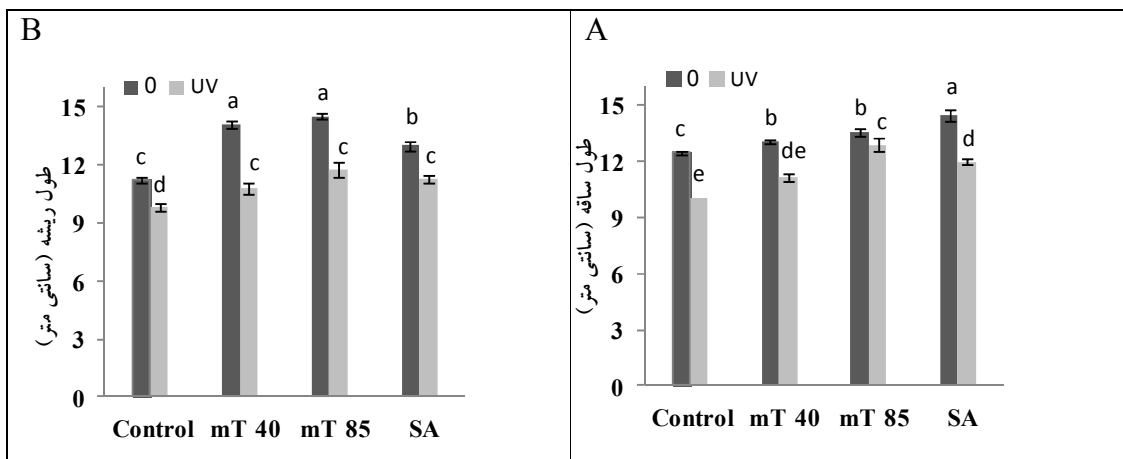
بیویو اس ۲۱۰۰ اندازه‌گیری شد. برای رسم منحنی استاندارد از اسید سینامیک به عنوان استاندارد استفاده شد و در نهایت فعالیت آنزیم فنیل آلانین آمونیا لایز بر حسب میکروگرم سینامات تولیدی به ازای هر میکروگرم پروتئین برای هریک از نمونه‌ها محاسبه شد.

### اندازه‌گیری میزان فلاونوئیدها

برای اندازه‌گیری فلاونوئیدها از روش جیا و همکاران استفاده شد (Jia et al., 1999). یک‌دهم گرم از وزن تر برگ در هاون چینی که حاوی ۱۰ میلی‌لیتر متانول بود سائیده شد. سپس روی ۱ میلی‌لیتر از عصاره استخراج شده، ۱ میلی‌لیتر محلول ۲ درصد آلومینیوم تری کلراید ( $AlCl_3$ ) اضافه شد و حجم آن با اتانول به ۲۵ میلی‌لیتر رسید. نمونه‌ها به مدت ۱۰ دقیقه در دور ۳۰۰۰g سانتریفوژ شدند و بعد از ۴۰ دقیقه جذب نمونه‌ها (فاز بالایی نمونه‌های سانتریفوژ شده) در طول موج‌های ۳۳۰ نانومتر با دستگاه اسپکتروفتومتر مدل بیویو اس ۲۱۰۰ اندازه‌گیری شد. برای محاسبه غلظت فلاونوئیدهای کل از ضریب خاموشی  $mMcm^{-1} 33000$  استفاده شد.

### اندازه‌گیری آنتوسیانین

برای اندازه‌گیری آنتوسیانین از روش ونگر استفاده شد (Wanger, 1979). یک‌دهم گرم وزن تر برگ در هاون چینی حاوی ۱۰ میلی‌لیتر متانول اسیدی (۹۹ درصد متانول و ۱ درصد اسید کلریدریک) سائیده شد. عصاره حاصل به مدت ۱۰ دقیقه با دور ۶۰۰۰g سانتریفوژ شد و فاز بالایی آن به مدت ۲۴ ساعت در دمای آزمایشگاه و در تاریکی قرار گرفت. جذب هریک از نمونه‌ها در طول موج ۵۵۰ نانومتر با دستگاه اسپکتروفتومتر خوانده شد. برای محاسبه غلظت آنتوسیانین از ضریب خاموشی  $mM cm^{-1} 150$  استفاده شد.



شکل ۱- تأثیر سالیسیلیک اسید (۱ میلی مولار) و میدان مغناطیسی (۴۰ و ۸۵ میلی تسلا) روی طول ساقه (A) و ریشه (B) در گیاه بادرنجبویه تحت تنش پرتو UV-B. در هر ستون، میانگین‌های دارای حروف متفاوت تفاوت معنی‌داری با استفاده از آزمون دانکن دارند.

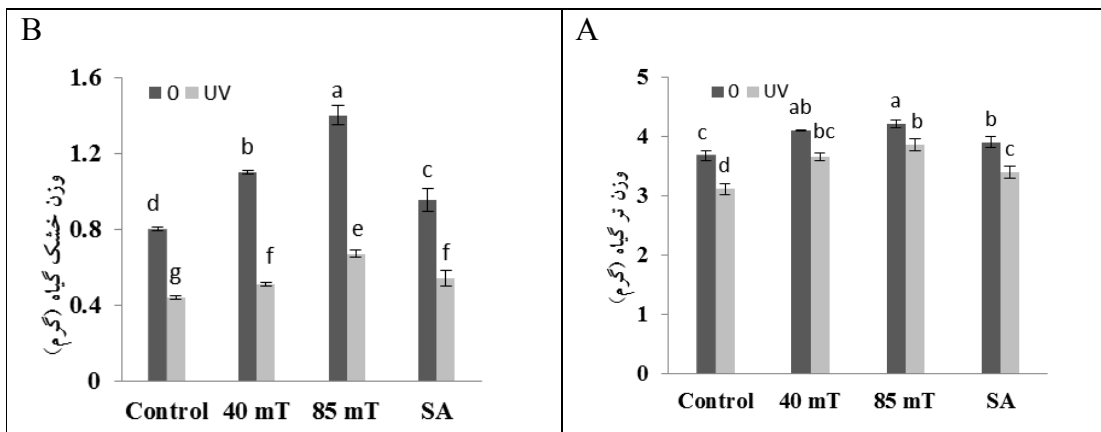
Fig. 1. Effect of salicylic acid (1 mM) and magnetic field (40 and 85 mT) on shoot (A) and root length (B) in *Melisa officinalis* under UV-B stress. Different letters in each column show significant difference at  $p < 0.05$  by Duncan's Test.

نسبت به گیاهان شاهد یافت. اما در نمونه‌هایی که با سالیسیلیک اسید تیمار شده بودند میزان هر دو کلروفیل نسبت به گیاهان شاهد افزایش معنی‌داری نشان داد. در تیمار توأم پرتوهای UV-B با سالیسیلیک اسید میزان کلروفیل a و کلروفیل b نسبت به اعمال به تنهایی هر دو پرتو فرابنفش افزایش معنی‌داری نشان داد. اعمال میدان مغناطیسی در هر دو شدت موجب افزایش معنی‌دار کلروفیل a و b نسبت به گیاهان شاهد شد. اعمال توأم میدان مغناطیسی با پرتو فرابنفش در مقایسه با اعمال به تنهایی پرتو فرابنفش نیز افزایش معنی‌دار نشان داد و همان‌طوری که در شکل ۳ مشاهده می‌شود، در گیاهان تحت تنش UV اعمال میدان مغناطیسی در هر دو شدت میزان کلروفیل را توانست در حد گیاهان شاهد، افزایش دهد، ولی این افزایش در مقایسه با اعمال توأم سالیسیلیک اسید معنی‌دار نبود.

در نمونه‌های تیمار یافته با پرتوهای UV به همراه سالیسیلیک اسید مقدار این کاهش نسبت به گیاهان پرتودیده کمتر بود. پیش تیمار میدان مغناطیسی در هر دو شدت موجب افزایش وزن تر و خشک نسبت به تیمار شاهد شد. اعمال توأم میدان مغناطیسی و پرتو فرابنفش B در هر دو شدت در وزن تر توانست اثر تخریبی پرتو فرابنفش را در حد تیمار شاهد بهبود دهد. اعمال توأم میدان مغناطیسی و پرتو فرابنفش B در هر دو شدت توانست وزن خشک را به طور معنی‌داری نسبت به اعمال به تنهایی پرتو فرابنفش افزایش دهد، ولی این تیمار نسبت به تیمار شاهد کاهش معنی‌داری نشان داد.

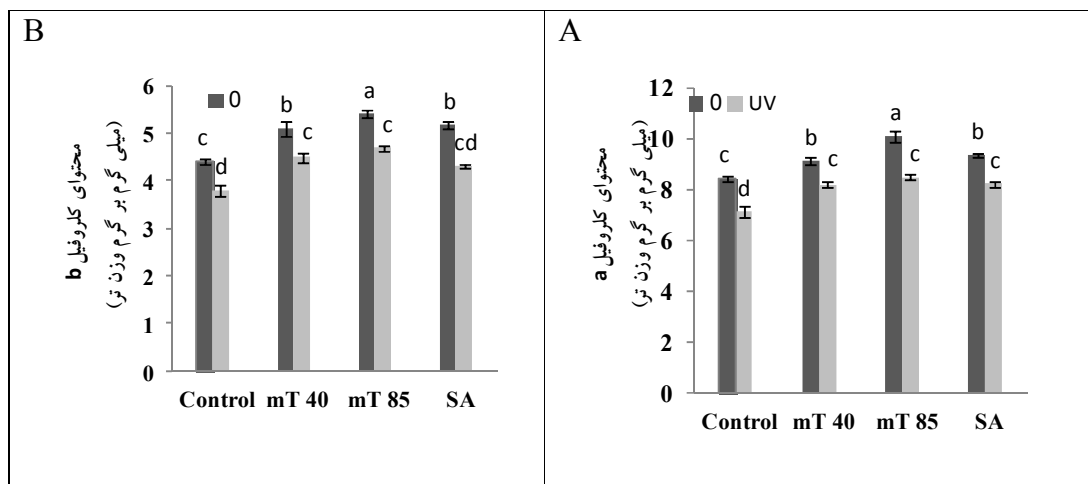
### رنگیزه‌های فتوسنتزی

بر اساس نتایج بدست آمده میزان کلروفیل a (شکل ۳ الف) و b (شکل ۳ ب) تحت تأثیر پرتوهای UV-B کاهش معنی‌داری



شکل ۲- تأثیر سالیسیلیک اسید (۱ میلی‌مولار) و میدان مغناطیسی (۴۰ و ۸۵ میلی‌تسلا) روی وزن تر (A) و خشک (B) در گیاه بادرنجبویه تحت تنش پرتو UV-B. در هر ستون، میانگین‌های دارای حروف متفاوت دارای تفاوت معنی‌دار با استفاده از آزمون دانکن هستند.

Fig. 2. Effect of salicylic acid (1 mM) and magnetic field (40 and 85 mT) on fresh (A) and dry weights (B) in *Melisa officinalis* under UV-B stress. Different letters in each column show significant difference at  $p < 0.05$  by Duncan's Test.

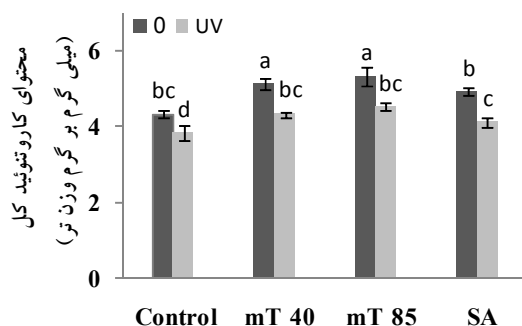


شکل ۳- تأثیر سالیسیلیک اسید (۱ میلی‌مولار) و میدان مغناطیسی (۴۰ و ۸۵ میلی‌تسلا) روی محتوای کلروفیل a (A) و کلروفیل b (B) در گیاه بادرنجبویه تحت تنش پرتو UV-B. در هر ستون، میانگین‌های دارای حروف متفاوت دارای تفاوت معنی‌دار با استفاده از آزمون دانکن هستند.

Fig. 3. Effect of salicylic acid (1 mM) and magnetic field (40 and 85 mT) on chlorophyll a (A) and b (B) in *Melisa officinalis* under UV-B stress. Different letters in each column show significant difference at  $p < 0.05$  by Duncan's Test.

کل در سطح احتمال ۵ درصد نسبت به گیاهان شاهد شد. اعمال توأم پرتوهای فرابنفش به همراه سالیسیلیک اسید موجب افزایش معنی‌دار محتوای کاروتنوئید کل نسبت به گیاهان پرتودیده بدون سالیسیلیک اسید شد.

بر اساس نتایج، محتوای کاروتنوئید کل در گیاهان تحت تیمار با UV-B نسبت به گیاهان شاهد کاهش معنی‌داری یافت (شکل ۴). سالیسیلیک اسید باعث افزایش معنی‌دار سطح کاروتنوئید



شکل ۴- تأثیر سالیسیلیک اسید (۱ میلی مولار) و میدان مغناطیسی (۴۰ و ۸۵ میلی تسلا) بر محتوای کاروتنوئید کل در گیاه بادرنجبویه تحت تنش پرتو UV-B. در هر ستون، میانگین‌های دارای حروف متفاوت دارای تفاوت معنی‌دار با استفاده از آزمون دانکن هستند.

Fig. 4. Effect of salicylic acid (1 mM) and magnetic field (40 and 85 mT) on total carotenoid content in *Melisa officinalis* under UV-B stress. Different letters in each column show significant difference at  $p < 0.05$  by Duncan's Test.

قندهای محلول را به طور معنی‌دار افزایش داد. این افزایش در میزان قندهای محلول در مقایسه با اعمال توأم سالیسیلیک اسید با پرتو فرابنفش معنی‌دار بود.

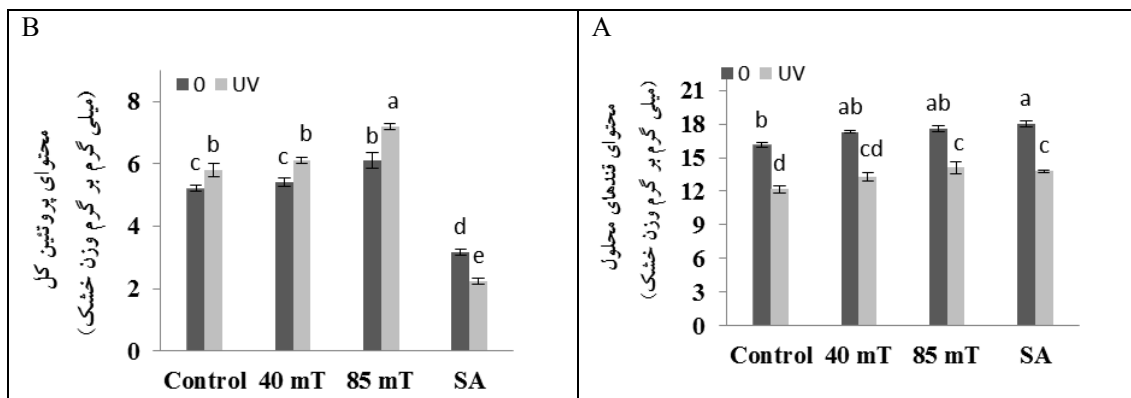
بررسی نتایج حاصل از اندازه‌گیری فعالیت آنزیم فنیل آلانین-آمونیا لایز تحت تابش پرتوهای UV-B نشان داد که پرتوهای فرابنفش باعث افزایش معنی‌دار فعالیت این آنزیم می‌شوند (شکل ۶ الف). تیمار با سالیسیلیک اسید باعث افزایش بیشتر فعالیت این آنزیم نسبت به گیاهان شاهد شد. اعمال توأم سالیسیلیک اسید با پرتوهای فرابنفش موجب افزایش معنی‌دار میزان فنیل آلانین آمونیا لایز نسبت به اعمال پرتوهای فرابنفش بدون سالیسیلیک اسید شد. میزان فعالیت این آنزیم در گیاهان تحت تیمار میدان مغناطیسی نسبت به گیاهان شاهد و در گیاهان تحت تیمار توأم میدان مغناطیسی و پرتو فرابنفش نسبت به اعمال پرتو فرابنفش به‌تنهایی تغییری نشان نداد.

اعمال میدان مغناطیسی موجب افزایش معنی‌دار کاروتنوئید کل در مقایسه با گیاهان شاهد شد. اعمال توأم میدان مغناطیسی با پرتو فرابنفش B موجب افزایش معنی‌دار کاروتنوئید کل در مقایسه با اعمال به‌تنهایی پرتو فرابنفش شد، به‌طوری‌که این افزایش در مقایسه با اعمال سالیسیلیک اسید بیشتر بود (شکل ۳).

#### قندها و پروتئین‌های کل محلول

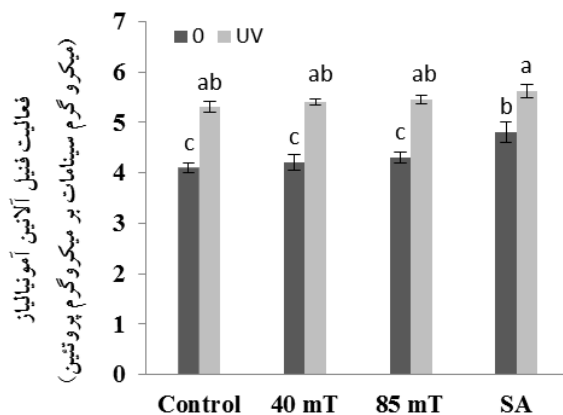
بررسی نتایج حاصل از اندازه‌گیری میزان قندها و پروتئین‌های کل محلول نشان داد که پرتوهای UV-B باعث کاهش معنی‌دار میزان قندهای محلول (شکل ۵ الف) و پروتئین‌های کل محلول (شکل ۵ ب) در سطح احتمال ۵ درصد نسبت به گیاهان شاهد شد. تیمار با سالیسیلیک اسید به همراه پرتوهای فرابنفش این کاهش را نسبت به گیاهان تیمار دیده با پرتوهای فرابنفش بدون سالیسیلیک اسید به‌طور معنی‌دار افزایش داد. اعمال میدان مغناطیسی در مقایسه با گیاهان شاهد افزایش نشان داد. اعمال توأم میدان مغناطیسی در شدت ۸۵ میلی تسلا با پرتو فرابنفش در مقایسه با گیاهان تحت تیمار فرابنفش میزان محتوای پروتئین و





شکل ۵ - تأثیر سالیسیلیک اسید (۱ میلی مولار) و میدان مغناطیسی (۴۰ و ۸۵ میلی تسلا) روی محتوای قندهای محلول (A) و پروتئین کل (B) در گیاه بادرنجبویه تحت تنش پرتو UV-B. در هر ستون، میانگین‌های دارای حروف متفاوت دارای تفاوت معنی دار با استفاده از آزمون دانکن هستند.

Fig. 5. Effect of salicylic acid (1 mM) and magnetic field (40 and 85 mT) on soluble sugars (A) and proteins (B) in *Melisa officinalis* under UV-B stress. Different letters in each column show significant difference at  $p < 0.05$  by Duncan's Test.



شکل ۶ - تأثیر سالیسیلیک اسید (۱ میلی مولار) و میدان مغناطیسی (۴۰ و ۸۵ میلی تسلا) روی فعالیت فنیل آلانین آمونیا لایاز در گیاه بادرنجبویه تحت تنش پرتو UV-B. در هر ستون، میانگین‌های دارای حروف متفاوت دارای تفاوت معنی دار با استفاده از آزمون دانکن هستند.

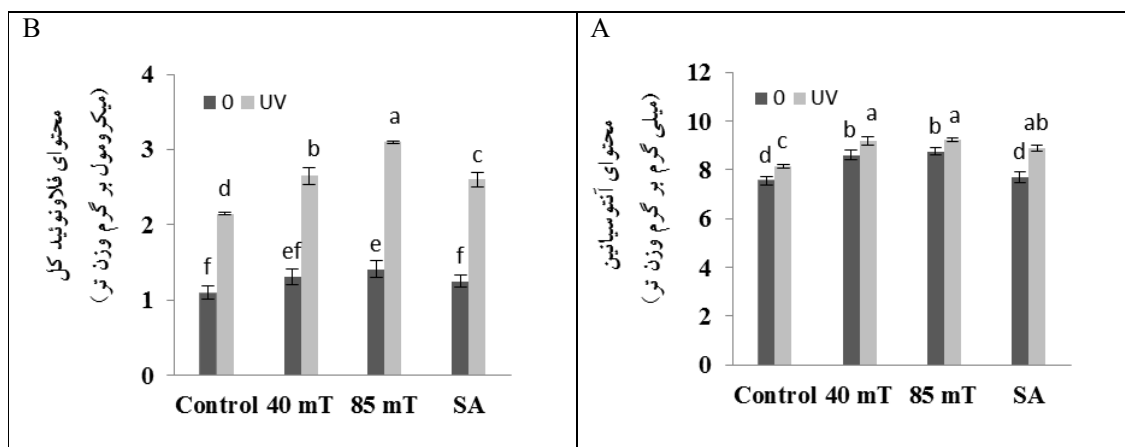
Fig. 6. Effect of salicylic acid (1 mM) and magnetic field (40 and 85 mT) on phenylalanine ammonia-lyase activity in *Melisa officinalis* under UV-B stress. Different letters in each column show significant difference at  $p < 0.05$  by Duncan's Test.

یافت. تیمار با سالیسیلیک اسید در گیاهان پرتو دیده نیز باعث افزایش معنی دار محتوای فلاونوئیدها و آنتوسیانین‌ها نسبت به گیاهان پرتو دیده بدون سالیسیلیک اسید شد. اعمال میدان مغناطیسی به تنهایی و در گیاهان تحت تیمار فرابنفش موجب

نتایج نشان داد که پرتوهای UV-B باعث افزایش معنی دار سطح ترکیبات جاذب پرتوهای فرابنفش شد. طبق نتایج، میزان آنتوسیانین‌ها (شکل ۷ ب) و فلاونوئیدها (شکل ۷ الف) در گیاهان پرتو دیده نسبت به گیاهان شاهد افزایش معنی داری

پرتو فرابنفش میزان فلاونوئید کل را در هر دو شدت نسبت به گیاهان شاهد و گیاهان تحت پرتو فرابنفش افزایش معنی دار داد.

افزایش معنی دار محتوای آنتوسیانین‌ها نسبت به گیاهان شاهد و تحت تیمار پرتو فرابنفش شد. در محتوای فلاونوئید کل اعمال میدان مغناطیسی فقط در شدت ۸۵ میلی تسلا در مقایسه با گیاهان شاهد افزایش معنی دار نشان داد. اعمال میدان مغناطیسی همراه با



شکل ۷- تأثیر سالیسیلیک اسید (۱ میلی مولار) و میدان مغناطیسی (۴۰ و ۸۵ میلی تسلا) روی محتوای آنتوسیانین (A) و فلاونوئید کل (B) در گیاه بادرنجبویه تحت تنش پرتو UV-B. در هر ستون، میانگین‌های دارای حروف متفاوت دارای تفاوت معنی دار با استفاده از آزمون دانکن هستند.

Fig. 7. Effect of salicylic acid (1 mM) and magnetic field (40 and 85 mT) on anthocyanin (A) and flavonoid content (B) in *Melissa officinalis* under UV-B stress. Different letters in each column show significant difference at  $p < 0.05$  by Duncan's Test.

## بحث

این فرآورده‌های نوری نیست، پس حذف آنها برای رونویسی و همانندسازی DNA ضروری است (Britt & May, 2003). بسیاری از تغییرات مورفولوژیکی و آناتومیکی در گیاهان رشد-یافته تحت تأثیر تیمار UV-B گزارش شده است (Bandurska *et al.*, 2012). کاهش غلظت اکسین و افزایش محصولات نوری مهارکننده اکسین، ۳ متیلن اکسیندول ممکن است مسئول مهار رشد هیپوکوتیل باشد. علاوه بر این، احتمالاً عمل پراکسیدازها مثل اکسین اکسیداز از تطویل سلولی جلوگیری می‌کند و از این طریق موجب کاهش رشد می‌شود (Hollosy *et al.*, 2002). نتایج بررسی تأثیر اشعه UV بر دانه‌های بادام‌زمینی نشان داده است که تابش UV می‌تواند به اندامک‌ها آسیب برساند و موجب تخریب غشاهای لیپیدی شود (Ke-Tang *et al.*, 2012). تیمار سالیسیلیک اسید باعث افزایش طول ریشه و

بررسی نتایج حاصل از اندازه‌گیری طول ریشه و ساقه نشان داد که پرتوهای UV-B باعث کاهش معنی دار طول ریشه و ساقه می‌شود. تأثیر اشعه UV بر رشد گیاهان به واسطه هورمون‌های گیاهی، تخریب نوری یا کاهش فعالیت برخی آنزیم‌ها انجام می‌شود (Balouchi *et al.*, 2009). احتمالاً تغییرات القاشده توسط UV-B در DNA یا تنظیم کننده‌های رشد مسئول تغییرات رشدی، توسعه و گل‌دهی در گیاهان باشد (Hollosy *et al.*, 2002). DNA به‌ویژه به اشعه ماوراء بنفش حساس است، زیرا جذب UV-B موجب تغییر شکل نوری (فتوترانسفورماسیون) می‌شود که به تولید دایمر سیکلوبوتانات پیریمیدین و دایمر پیریمیدین می‌انجامد (Beaudion & Eagen, 1989; Balouchi *et al.*, 2009; Bandurska *et al.*, 2012). به همین علت DNA و RNA پلی‌مرز قادر به خواندن

این سه پدیده با قدرت عمل تعیین شده به‌عنوان پیوند هیدروژنی ارتباط می‌یابد. تغییرات در این شاخص‌ها به نفوذ آب به داخل بذر منجر می‌شود و جوانه‌زنی سریع‌تر و مؤثر بذرها را به‌دنبال می‌آورد (Galland & Pazur, 2005). پوراکیبر و همکاران اثر میدان مغناطیسی را بر ریشه گیاه رازیانه بررسی کرده و مشاهده کرده‌اند که طول ریشه این گیاه تحت تأثیر میدان مغناطیسی نسبت به شاهد افزایش چشمگیری می‌یابد (پوراکیبر، ۱۳۹۱). اندازه‌گیری وزن تر و خشک گیاهان پرتودیده و مقایسه آنها با گیاهان شاهد نشان داد که اشعه UV باعث کاهش وزن تر و خشک ریشه و اندام هوایی شد. در گیاه لوبیا وزن تر ریشه و اندام هوایی تحت تابش UV-B کاهش می‌یابد. کاهش وزن ریشه و اندام هوایی تحت تأثیر اشعه UV به‌خصوص UV-B مبین کاهش تولید بیوماس در این تیمارهاست و این یک پاسخ عمومی در بسیاری از گونه‌های گیاهی است. یکی از دلایل کاهش وزن ریشه و اندام هوایی در تیمارهای UV، اختلال در بیوسنتز یا انتقال تنظیم‌کننده‌های رشد و نمو گیاهی مثل اکسین و اسید جبرلیک است (Hassan *et al.*, 2012). علت اصلی کاهش وزن تر و خشک ریشه اندام هوایی در اثر تابش UV می‌تواند کاهش ظرفیت فتوسنتزی باشد. کاهش سطح برگ در اثر تابش UV نیز از دلایل عمده این کاهش است. گزارش شده است که کاهش تولید بیوماس در گندم به‌علت کاهش ظرفیت فتوسنتزی و کاهش سطح برگ بوده است (Balouchi *et al.*, 2009).

نتایج این تحقیق نشان داد که سالیسیلیک اسید و میدان مغناطیسی به‌طورمعنی‌داری وزن تر و خشک را در گیاهان بادرنجبویه افزایش می‌دهند. اصلی‌ترین دلیل برای این افزایش می‌تواند مربوط به توانایی آنها در افزایش ظرفیت فتوسنتزی باشد. سالیسیلیک اسید و میدان مغناطیسی باعث افزایش تعداد برگ‌ها، افزایش سطح برگ و افزایش میزان رنگیزه‌های فتوسنتزی می‌شوند و بدین ترتیب افزایش ظرفیت فتوسنتزی و افزایش تولید بیوماس و افزایش رشد و وزن گیاهی را به‌دنبال می‌آورند. گزارش شده است که سالیسیلیک اسید باعث افزایش وزن خشک ریشه و اندام هوایی گیاه گندم می‌شود (Kaydan *et al.*, 2007). میدان مغناطیسی باعث کاهش کشش سطحی

اندام هوایی شد. سازوکاری که سالیسیلیک اسید به‌واسطه آن رشد ریشه و اندام هوایی را در برخی گیاهان افزایش می‌دهد به خوبی شناخته نشده است. اما احتمال داده می‌شود که سالیسیلیک اسید تولید شدن و تقسیم سلولی را به همراه مواد دیگری از قبیل اکسین تنظیم می‌کند (Shakirova & Sahabutdinova, 2003). شواهد نشان داده است که هم‌بستگی قوی بین مسیرهای علامت‌دهی سالیسیلیک اسید و اکسین وجود دارد. تحقیقات درباره گیاه گندم نشان داده است که اعمال سالیسیلیک اسید از کاهش اکسین و سیتوکینین جلوگیری می‌کند (Shakirova *et al.*, 2003). این مبین آن است که احتمالاً سالیسیلیک اسید با وساطت پاسخ‌های اکسین وارد عمل می‌شود (Vicente & Plasenci, 2011). احتمال داده می‌شود که بهبود رشد طولی تحت تأثیر میدان مغناطیسی در نتیجه تأثیر آن بر شاخص میتوزی باشد و در همین جهت راجندرا و همکاران افزایش معنی‌داری در شاخص میتوزی و همچنین الحاق H-تیمیدین به DNA در بذرها و یسافا گزارش کرده‌اند که در معرض میدان‌های مغناطیسی با شدت ۱۰۰ میلی‌تسلا بوده‌اند را گزارش کرده‌اند و نشان داده‌اند که یون کلسیم آزاد ( $Ca^{2+}$ ) در این مورد به‌عنوان علامت‌دهی در سلول برای تسریع ورود به چرخه میتوتیکی افزایش می‌یابد (Rajendra *et al.*, 2005).

ازسوی دیگر، بسیاری از محققان عامل افزایش ظرفیت جوانه‌زنی و شتاب مراحل مورفولوژیک در بذرها را افزایش جذب آب بیان کرده‌اند. میدان مغناطیسی نه تنها باعث نفوذ سریع‌تر آب به بذر می‌شود، بلکه بر سرعت واکنش‌های آنزیمی نیز از این طریق اثر می‌گذارد. افزایش جذب آب در اولین مرحله باعث شتاب در آماس بذرها تحت تأثیر میدان مغناطیسی می‌شود که پی‌آمد آن افزایش وزن تر آنهاست؛ به‌علاوه، افزایش وزن دانه‌رست‌ها ممکن است با افزایش متابولیسم سریع‌تر با محتوای آبی بیشتر در گیاهان ارتباط داشته باشد (Fischer *et al.*, 2004). میدان مغناطیسی باعث کاهش کشش سطحی و ویسکوزیته آب و به همان اندازه موجب کاهش گرمای نهان تبخیر می‌شود که نهایتاً بخارشدن سریع آب را در پی دارد (Yoshimas *et al.*, 2001).

و کاروتنوئیدها تحت تأثیر میدان مغناطیسی در گیاه سیب‌زمینی مشاهده شده است (Rakosy-Tican *et al.*, 2005).

نتایج حاصل از بررسی میزان قندهای محلول تحت تابش پرتوهای فرابنفش نشان داد که پرتوهای UV-B باعث کاهش معنی‌دار سطح قندهای محلول در اندام هوایی می‌شود. کاهش محتوای قندهای محلول تحت تأثیر پرتوهای فرابنفش در گیاه فلفل قلمی گزارش شده است (Hosseinisarghein *et al.*, 2008). کاهش میزان قند در تیمارهای UV نشان‌دهنده کاهش فتوسنتز است و این کاهش فتوسنتز به دلایلی از جمله پراکسیداسیون غشای تیلاکوئیدی (Mazza *et al.*, 2000)، جذب UV توسط فتوسنتز II و تخریب پروتئین‌های  $D_1$  و  $D_2$  و تخریب آنزیم رویسکو رخ می‌دهد (Moussa & Khodary, 2008).

نتایج نشان داد میدان مغناطیسی و سالیسیلیک اسید باعث افزایش محتوای قندهای محلول می‌شوند. پوپووا و همکاران بیان کرده‌اند که سالیسیلیک اسید باعث تأخیر در کاهش مقدار رنگیزه‌های فتوسنتزی شده است (Popova *et al.*, 2007). بنابراین به‌علت تعدیل در کاهش مقدار رنگیزه‌های فتوسنتزی و احتمالاً حفظ ساختار و فعالیت رویسکو باعث افزایش مقدار قندها می‌شود (Kennedy, 2004). افزایش محتوای قندهای محلول تحت تأثیر میدان مغناطیسی می‌تواند به دلایلی از جمله افزایش مقدار رنگیزه‌های فتوسنتزی، افزایش سطح برگ، افزایش تعداد برگ‌ها و در نهایت افزایش ظرفیت فتوسنتزی باشد.

بررسی نتایج حاصل از اندازه‌گیری میزان پروتئین نشان داد که پرتوهای UV-B باعث کاهش معنی‌دار محتوای پروتئین‌های محلول می‌شود. آمینواسیدهای حلقوی مانند فنیل‌آلانین، تیروزین و تریپتوفان جذب زیادی در ناحیه فرابنفش دارند و به‌شدت تحت تأثیر پرتوهای UV تخریب می‌شوند. سنتز پروتئین نیز از طریق آسیب رسیدن به مولکول‌های RNA دچار اختلال می‌شود (Moosavi *et al.*, 2009). پروتئین‌های رویسکو، ATP، و یولانگزانین داپوکسیداز و زیرواحدهای پروتئینی فتوسنتزهای I و II از مهم‌ترین پروتئین‌هایی هستند که تحت تأثیر پرتوهای UV تخریب می‌شوند. کاهش محتوای پروتئین در گیاه فلفل تحت تیمار پرتوهای UV توسط مهدویان و همکاران در سال ۲۰۰۸ گزارش شده است.

آب می‌شود که پیامد آن می‌تواند افزایش وزن گیاه به‌علت جذب بیشتر آب باشد (Yoshimas *et al.*, 2001). این نتایج با نتایج پوراکیبر و همکاران درباره گیاه رازیانه همسویی نشان می‌دهد.

بررسی نتایج حاصل از اندازه‌گیری میزان کلروفیل a، کلروفیل b و کاروتنوئیدها نشان داد که پرتو UV-B باعث کاهش محتوای آنها می‌شود. کاهش معنی‌دار سطح رنگیزه‌های فتوسنتزی در برگ‌های فلفل تحت تابش UV-B و UV-C در مقایسه با گیاهان شاهد گزارش شده است (Hosseinisarghein *et al.*, 2008). کاهش میزان کلروفیل به دلیل ممانعت از سنتز آن یا به‌علت تخریب پیش‌سازهای سنتز آن و همچنین فتواکسیژناسیون غیر آنزیمی کلروفیل در اثر تابش پرتوهای فرابنفش اتفاق می‌افتد. نتایج آزمایش‌ها نشان داد که سالیسیلیک اسید باعث افزایش محتوای کلروفیل و کاروتنوئید می‌شود. در گیاهانی که به صورت توأم تحت تیمار سالیسیلیک اسید و UV قرار داشتند میزان کلروفیل‌ها و کاروتنوئید، اگر چه از گیاهان شاهد کمتر بود، نسبت به گیاهانی که فقط در معرض پرتوهای UV قرار داشتند بیشتر بود. مهدویان و همکاران نیز نتایج مشابهی را گزارش کرده‌اند (Mahdavian *et al.*, 2008). این نتایج با یافته‌های موسوی نیز همسویی نشان می‌دهد (Moosavi *et al.*, 2009). گزارش شده است که در گیاه لوبیا، اسپری برگی سالیسیلیک اسید بر مقدار کلروفیل a، کلروفیل b و کاروتنوئیدها افزوده است (Turkyilmaz *et al.*, 2005).

نتایج آزمایش‌ها نشان داد که میدان مغناطیسی میزان کلروفیل a، کلروفیل b و کاروتنوئیدها را افزایش می‌دهد. بعضی اتم‌های سلول‌های گیاهی و رنگیزه‌های کلروپلاستی خواص پارامغناطیسی دارند. خواص مغناطیسی مولکول‌ها توانایی آنها را در جذب و سپس تغییر شکل میدان مغناطیسی به دیگر انواع انرژی بالا می‌برد و باعث انتقال این انرژی به ساختارهای دیگر در سلول‌های گیاهی و در نتیجه فعال‌شدن آنها می‌شود (Dorna *et al.*, 2010). میدان مغناطیسی توانایی تغییر خواص آب را دارد و این آب مغناطیسی شده می‌تواند باعث افزایش محتوای کلروفیلی شود. افزایش محتوای کلروفیل a، کلروفیل b

فلاونوئیدها و آنتوسیانین‌ها منجر می‌شود که باعث محافظت از بافت‌های گیاهی می‌شود.

بررسی نتایج نشان داد که محتوای فلاونوئید و آنتوسیانین به‌طور معنی‌داری تحت تابش UV-B افزایش یافت. افزایش محتوای فلاونوئید و آنتوسیانین در گیاه فلفل قلمی تحت تیمار UV-A و UV-C گزارش شده است (Hosseinisarghein *et al.*, 2008). همچنین افزایش محتوای فلاونوئید و آنتوسیانین در گیاه صبرزرد تحت تیمار UV توسط قناتی گزارش شده است (قناتی، ۱۳۸۵). ترکیبات جذب‌کننده UV که اغلب فلاونوئیدها یا مشتقات هیدروکسی‌سینامیک اسید مثل آنتوسیانین هستند می‌توانند در اپیدرم تجمع یابند و در واکوئل سلول‌ها و یا به صورت باند به دیواره یا کوتیکول قرار بگیرند که تجمع آنها نوعی ساز-و کار حفاظتی برای جلوگیری از نفوذ پرتوهای فرابنفش است (Tucsanyi & Vass, 2000). مطالعات نشان می‌دهد که پرتوهای فرابنفش باعث افزایش فعالیت آنزیم PAL می‌شوند و در نتیجه باعث تولید سینامیک اسید و فعال‌شدن مسیر بیوسنتز فلاونوئیدها می‌شود. افزایش در غلظت فلاونوئیدها ناشی از فعالیت زیاد آنزیم PAL یا سرعت زیاد سنتز این آنزیم گزارش شده است (Wang *et al.*, 2006). گزارش‌ها نشان می‌دهند که مقدار و فعالیت آنزیم کالکون‌سنتاز که در بیوسنتز فلاونوئیدها نقش اساسی دارد تحت تأثیر پرتوهای فرابنفش افزایش می‌یابد. آنتوسیانین‌ها از ترکیبات فنولی مشتق‌شده از مسیر بیوسنتز فلاونوئیدها هستند که خاصیت فیلتر کردن پرتوهای UV را دارند. افزایش میزان آنتوسیانین‌ها تحت تنش UV ناشی از تحریک بیان ژن‌های کدکننده آنزیم‌های درگیر در مسیر بیوسنتز این ترکیبات است. اثر دوزها و زمان‌های مختلف پرتو UV-C بر افزایش میزان آنتوسیانین‌ها در توت‌فرنگی گزارش شده است (Erkan *et al.*, 2008).

بر طبق نتایج به‌دست‌آمده تیمار با میدان مغناطیسی و سالیسیلیک اسید باعث افزایش محتوای فلاونوئیدها و آنتوسیانین در گیاهان تحت تیمار شد. نشان داده شده است که افزایش مقاومت در برابر بیماری‌های گیاهی در اثر تیمار با سالیسیلیک اسید همراه با افزایش در فعالیت آنزیم PAL و کالکون‌ایزومراز است (Hayat & Ahmad, 2007). آنزیم PAL به‌عنوان اولین آنزیم در مسیر فنیل پروپانوئید موجب تبدیل فنیل‌آلانین به

در این آزمایش سالیسیلیک اسید باعث افزایش محتوای پروتئین در گیاهان بادرنجبویه شد و کاهشی را که در گیاهان با تیمار UV ایجاد شده بود به‌خوبی جبران کرد. سالیسیلیک اسید بر تشکیل پروتئین‌های دفاعی، پروتئین‌کینازها و رویسکو اثر می‌گذارد و همچنین سنتز پروتئین‌های مهارکننده پروتنازها را القا می‌کند (Horvath *et al.*, 2007). گزارش شده است که کاربرد سالیسیلیک اسید به القای بیان ژن‌های پروتئین‌های عامل مقاومت منجر می‌شود و همچنین با افزایش آنزیم‌های آنتی-اکسیدان و توان آنتی‌اکسیدانی از اکسیداسیون پروتئین‌ها جلوگیری می‌کند (Gapinska & Sklodowska, 2008). در مطالعه حاضر، محتوای پروتئین تحت تأثیر میدان مغناطیسی کاهش یافت که این کاهش معنی‌دار نبود. تأثیر میدان مغناطیسی بر سنتز پروتئین در تعدادی از آزمایش‌ها مطالعه شده است. پیشنهاد شده است که سلول‌ها ممکن است با تغییر در نسخه-برداری و ترجمه پروتئین‌های شوک حرارتی به میدان‌های مغناطیسی پاسخ دهند. در بسیاری از گزارش‌ها درباره سازوکار اثر میدان‌های مغناطیسی به اثر این میدان‌ها در تأثیر روی کانال‌های غشایی به ویژه کانال‌های انتقال کلسیم اشاره شده است که این میدان‌ها باعث باز شدن این کانال‌ها و افزایش کلسیم درون سلولی می‌شود. در نهایت کلسیم به عنوان پیام‌آور ثانویه باعث فعال‌شدن بسیاری از عوامل بیان ژن می‌شود و اد تغییراتی در سنتز پروتئین‌ها ایجاد می‌کند (Rajendra *et al.*, 2005). نتایج آزمایش‌ها نشان داد که فعالیت آنزیم فنیل‌آلانین-آمونیاپاز تحت تأثیر پرتوهای UV-B افزایش یافت. تیمار سالیسیلیک اسید و میدان مغناطیسی نیز باعث افزایش فعالیت این آنزیم شدند. فنیل‌آلانین آمونیاپاز آنزیم کلیدی در متابولیسم فنیل پروپانوئیدها است که تبدیل L- فنیل‌آلانین به ترانس-سینامیک اسید، اولین مرحله در متابولیسم ترکیبات فنولی را انجام می‌دهد. این مرحله نوعی واکنش بیوشیمیایی کلیدی در نمو و دفاع گیاهان به‌شمار می‌رود. بنابراین، افزایش میزان ترکیبات فنولی، فلاونوئیدها و آنتوسیانین‌ها می‌تواند مربوط به افزایش فعالیت آنزیم PAL باشد. افزایش میزان و فعالیت آنزیم PAL تحت تنش UV می‌تواند ناشی از افزایش بیان ژن مسئول سنتز این آنزیم باشد. تیمار سالیسیلیک اسید نیز باعث القای شدید ژن سازنده آنزیم PAL می‌شود که به سنتز ترکیباتی مانند

## References/منابع

پوراکبر، ل.، صدقی، ح. و اسدی سامانی، م. ۱۳۹۱. تأثیر میدان‌های مغناطیسی بر جوانه‌زنی، رشد اولیه و فعالیت برخی آنزیم‌های دخیل در جوانه زنی بذر رازیانه. - مجله علوم دانشگاه تربیت معلم ۱: ۱۲-۱.

قناتی، ف.، احمدی، ز. و عبدالملکی، پ. ۱۳۸۵. تأثیر پرتو فرابنفش C بر برخی پارامترهای فیزیولوژیکی در گیاه صبرزد (*Aloe vera* L.) - فصلنامه علمی-پژوهشی تحقیقات گیاهان دارویی و معطر ایران ۲۲: ۳۳۱-۳۱۵.

**Balouchi, H.R. and Sanavy, S.A.M.** 2009. Electromagnetic field impact on annual medics and dodder seed germination. - International Agrophysics 23: 111-115.

**Balouchi, H.R., Sanavy, S.A.M., Emam, Y. and Dolatabadian, A.** 2009. UV radiation, elevated CO<sub>2</sub> and water stress effect on growth and photosynthetic characteristics in durum wheat. - Plant Soil and Environment 55: 443-453.

**Bandurska, H., Piperowska-Borek, M. and Cieslak, M.** 2012. Response of barley seedling to water combination. - Acta Physiologiae Plantarum 34: 161-171.

**Beaudion-Eagan, L.D. and Thorpe, T.A.** 1989. Tyrosine and phenylalanine ammonialyase activities during shoot initiation in tobacco callus cultures. - Plant Physiology 78:438-441.

**Booji-James, I.S., Dube, S.K., Jansen, M. Edelman, M.A.K. and Mattoo, A.K.** 2000. Ultraviolet-B radiation impacts light-mediated turnover of the photosystem II reaction center heterodimer in *Arabidopsis* mutant altered in phenolic metabolism. - Plant Physiology 124: 1275-1283.

**Britt, A.B. and May, G.D.** 2003. Re-engineering plant gene targeting. - Trends Plant Science 8: 90-95.

**Buchholz, G., Ehmann, B. and Wellman, E.** 1995. Ultraviolet light inhibition of phytochrome-induced flavonoid biosynthesis and DNA photolyase formation in mustard cotyledones (*Synapis alba* L.). - Plant physiology 108: 227-234.

ترانس سینامیک اسید می‌شود که این ترکیب پیش‌ساز فعال ترکیبات فلاونوئیدی است (Chang *et al.*, 2008). سالیسیلیک اسید و میدان مغناطیسی بیان و فعالیت این آنزیم را تحریک می‌کنند. تیمار سالیسیلیک اسید باعث القای شدید ژن آنزیم‌های کالکون‌ستتاز، کالکون‌ایزومراز و فنیل آلانین آمونیلایز می‌شود که در نهایت به افزایش بیوستتاز ترکیبات جاذب می‌انجامد و این ترکیبات به‌عنوان جاذب پرتوهای فرابنفش در اپیدرم عمل می‌کنند و بافت‌های گیاهی را از صدمات پرتوهای فرابنفش محافظت می‌کنند (Vicente & Plasenci, 2011).

## نتیجه‌گیری کلی

این مطالعه نشان داد که پرتو UV-B باعث وارد آمدن آسیب‌هایی به گیاه بادرنجبویه شد و گیاه از لحاظ مورفولوژیکی و فیزیولوژیکی دچار تغییراتی شد. کاهش وزن، کاهش رشد طولی، کاهش میزان رنگیزه‌ها، کاهش میزان قندها و پروتئین‌ها در اثر پرتوهای فرابنفش در گیاه ایجاد شد.

افزایش میزان ترکیبات جاذب UV مانند فلاونوئید و آنتوسیانین به‌عنوان سازوکار دفاعی در برابر پرتوهای فرابنفش مشاهده شد. تیمار با سالیسیلیک اسید و میدان‌های مغناطیسی باعث جبران آسیب‌های فیزیولوژیکی و مورفولوژیکی شد که در اثر تیمار با پرتو UV-B ایجاد شده بود.

**Celik, O., Atak, C. and Rzakulieva, A.** 2008. Stimulation of rapid regeneration by a magnetic field in *Paulownia* node cultures. – *Journal of Central European Agriculture* 9: 297-304.

**Chakraborty, U. and Tongden, C.** 2005. Evaluation of heat acclimation and salicylic acid treatments as potent inducers of thermotolerance in *Cicer arietinum* L. – *Current Science* 89: 384-389.

**Chang, A., Lim, M.H., Lee, S.W., Robb, E.J. and Nazar, R.N.** 2008. Tomato PAL gene family: highly redundant but strongly underutilized. – *Journal of Biology and Chemistry* 283: 33591-33601.

**Dorna, H., Gorski, R., Szopinska, D., Tylkowska, K., Jurga, J., Wosinski, S. and Tomczak, M.** 2010. Effect of a permanent magnetic field together with the shielding of an alternating electric field on carrot seed vigor and germination. – *Ecological Chemistry and Engineering* 17: 53-61.

**El-Tayeb, M.A., EL-Enany, A.E. and L. Ahmed, N.** 2006. Salicylic acid- induced adaptive response to copper stress in sunflower (*Helianthus annuus* L.). – *Plant Growth Regulation* 50: 191-199.

**Eraslan, F., Inal, A., David, J. and A. Gunes, A.** 2008. Interactive effects of salicylic acid and silicon on oxidative damage and antioxidant activity in spinach (*Spina oleracea* L.cv. Matador) grown under boron toxicity and salinity. – *Plant Growth Regulation* 55: 207-219.

**Erkan, M., Wang, S.Y. and Wang, C.Y.** 2008. Effect of UV treatment on antioxidant capacity, antioxidant enzyme activity and decay in strawberry fruit. – *Postharvest Biology and Technology* 48: 163-171.

**Gapinska, M. and Sklodowska, M.** 2008. Effect of short and long-term salinity on the activities of antioxidative enzymes and lipid peroxidation in tomato roots. – *Acta Physiology Plant* 30: 11-18.

**Hassan, I.A., Basahi, J.M. and Kadi, M.W.** 2012. Physiological and biochemical impairment in bean plants due to supplementary ultraviolet

radiation and water stress. Possible protective roles of secondary metabolites. – *Australian Journal of Basic and Applied Sciences* 6: 552-563.

**Hayat, S. and Ahmad, A.** 2007. – *Salicylic acid: A plant hormone*. Springer, Dordrecht, the Netherlands.

**Hollosy, F.** 2002 Effects of ultraviolet radiation on plant cells. – *Micron* 33: 179-197.

**Holzinger, A. and Lutz, C.** 2006. Algae and UV radiation: Effects on ultrastructure and related metabolic functions. – *Micron* 37: 190-207.

**Horii, A., McCup, P. and Shetty, K.** 2007. Enhancement of seed vigour following insecticide and phenolic elicitor treatment. – *Bioresource Technology* 98: 623-632.

**Horvath, E., Szalai, G. and Janda, T.** 2007. Induction of abiotic stress tolerance by salicylic acid signaling. – *Journal of Plant Growth Regulation* 26: 290-300.

**Hosseini Sarghein, S., Carapetia, J. and Khara, J.** 2008. Effects of UV radiation on photosynthetic pigments and UV-absorbing compounds in *Capsicum longum* L. – *International Journal of Botany* 4: 486-490.

**Jia, Z., Tang, M. and Wu, J.** 1999. The determination of flavonoid content in mulberry and their scavenging effects on superoxide radicals. – *Food Chemistry* 64: 555-559.

**Kaydan, D., Yagmur, M. and Okut, N.** 2007. Effects of salicylic acid on the growth and some physiological characters in salt stressed wheat (*Triticum aestivum* L.). – *Tarim. Bilimleri. Dergisi*. 13: 114-119.

**Kennedy, D.O., Little, W., Haskell, C. and Scholey, A.B.** 2006. Anxiolytic effects of a combination of *Melissa officinalis* and *Valeriana officinalis* during laboratory induced stress. – *Phytotherapy Research Phytother. Response* 20: 96-102.

**Ke-Tang, J., Zhan, H. and Yang, W.D.H.** 2012. Changes of resveratrol and antioxidant

enzymes during UV-induced plant defense response in peanut seedling. – Journal of Plant Physiology 167: 95-102.

**Khodary, S.E.A.** 2004. Effect of salicylic acid on the growth, photosynthesis and carbohydrate metabolism in salt stressed maize plant. – International Journal of Biology 6: 5-8.

**Kochert, G.** 1978. – Carbohydrate determination by phenol-sulfuric acid method. In: Handbook of physiological and biochemical method. Cambridge University Press, London.

**Lichtenthaler, H.K. and Wellburn, A.R.** 1985. Determination of total carotenoids and chlorophylls a and b of leaf in different solvents. – Biochemical Society Transactions 11: 591-592.

**Mahdavian, K., Ghorbanli, M. and Kalantari, M. KH.** 2008. The effects of ultraviolet radiation on contents of chlorophyll, flavonoid anthocyanin and proline in *Capsicum annum* L. – Turkish Journal of Botany 32: 25-33.

**Mazza, C.A., Boccalandro, H.E., Girodano, C.V., Battista, D., Scopel, A.L. and Ballare, C.L.** 2000. Functional significance and induction by solar radiation of ultraviolet-absorbing sunscreens in field-grown soya bean crops. – Plant Physiology 122:117-125.

**Moosavi, S.M., Khara, J. and Heidari, R.** 2009. Effects of salicylic acid on photosynthetic pigment content in *Ocimum basilicum* L. under UV radiation stress. – Fredowski University International Journal of Biological Sciences 1: 57-66.

**Morris, K.S.A., Mackerness, T. and Page, T.** 2000. Salicylic acid has a role in regulating gene expression during leaf senescence. – Plant Journal 23: 677–685.

**Moussa, H.R. and Khodary, S.E.A.** 2008. Changes in growth and  $14\text{ CO}_2$  fixation of *Hordeum vulgare* and *Phaseolus vulgaris* induced by UV B radiation. – Journal of Agriculture and Social Science 4: 59-64.

**Podleony, J., Pietruszewski, S. and Podleona, A.** 2005. Influence of magnetic stimulation of seeds on morphological features

and yielding of the pea. – International Agrophysics 19: 61-68.

**Popova, L., Pancheva, T. and Uzunova, A.** 1997. Salicylic acid: properties, biosynthesis and physiological role. – Plant Physiology 23:85-93.

**Qin, L., Callaghan, T.V. and Yaanyuan, Z.** 2004. Effects of elevated solar UV-B radiation from ozone depletion on terrestrial ecosystems. – Journal of Mountain Science 1:276-288.

**Rajendra, P., Nayak, H.S., Sashidhar, R.B., Subramanyam, C., Devendarnath, D. and Gunase-karan, B.** 2005. Effects of power frequency electromagnetic fields on growth of germinating (*Vicia faba* L), the broad bean. Electromagnetic Biology and Medicine 24: 39-54.

**Rakosy-Tican, L., Aurori, C.M. and Morariu, V.V.** 2005. Influence of near null magnetic field on in vitro growth of potato and wild *Solanum* species. – Bioelectromagnetics 7: 548-57.

**Rhybus-Zajac, M. and Kubis, J.** 2010. Effect of UV-B radiation on antioxidative enzyme activity in cucumber cotyledons. – Acta Biologica Cracoviensla Series Botanica 52: 97-102.

**Rivas-San Vicente, M. and Plasenci, J.** 2011. Salicylic acid beyond defense: its roles in plant growth and development. – Journal of Experimental Botany 62: 3321-3338.

**Shakirova, F.M. and Sahabutdinova, D.R.** 2003. Changes in the hormonal status of wheat seedlings induced by salicylic acid and salinity. – Plant Science 164: 317-322.

**Shakirova, F.M., Sakhabutdinova, A.R., Bozrutkova, M.V., Fatkhutdinova, R.A. and Fatkhutdinova, D.R.** 2003. Changes in the hormonal status of wheat seedlings induced by salicylic acid and salinity. – Plant Science 164:317-322.

**Turcsanyi, E. and Vass, I.** 2000. Inhibition of photosynthetic electron transport by UV-A radiation targets the photosystem II complex. – Photochemistry Photobiology 72: 513-520.



**Turkyilmaz, B., Aktas, L.Y. and Guven, A.** 2005. Salicylic acid induced some biochemical and physiological changes in *phaselous vulgris* L. – Science and Engineering Journal of Firat University 17: 319-326.

**Vashisth, A. and Nagarajan, S.** 2010. Effect on germination and early growth characteristics in sunflower (*Helianthus annuus*) seeds exposed to static magnetic field. – Plant Physiology 167: 149-156.

**Wang, J.W., Zheng, L.P., Wu, J.Y. and Tan, R.Y.** 2006. Involvement of nitric oxide in oxidative burst, phenylalanine ammonia-lyase activation and taxol production induced by low-energy ultrasound in *Taxus yunnanensis* cell suspension cultures. – Nitric Oxide 15: 351-358.

**Yoshimas, I., Ichiro, S.H., Takashi, O. and Makatom, S.H.** 2001. Twelve hours exposure to homogerous high magnetic field after logarithmic growth phase is sufficient for drastic suppression of *Echerichia* death. – Journal of Bioelectro Chemistry 33: 101-105.

**Zhigang, L., Wang, X., Chen, F. and Hyun – Jin Kim, E.** 2007. Chemical changes and overexpressed genes in sweet basil (*Ocimum basilicum* L.) Upon methyljasmonate treatment. –Journal of Agricultural and Food Chemistry 55: 706-713.